移動通信用受信機設計の基礎

Foundation of the Receiver Design for Mobile Terminals

伊東健治

三菱電機株式会社

Kenji ITOH (itoh.kenji@ieee.org)

Mitsubishi Electric Corp.

8-1-1 Tsukaguchi-honnmachi, Amagasaki, Hyogo, 661-8661, JAPAN

This paper describes foundation of the receiver design. In this paper, digital radio transmission, RF characterization and receiver behavior with interferences are described.

1. まえがき

移動通信はより高い機能の実現に向けた進化のも とにある.携帯電話システムでは,第2世代携帯電 話での音声通話,無線インターネットに加え,第3 世代携帯電話の実用化により,TV電話や無線インタ ーネットによる音声・ビデオ配信が可能となってい る.更にブロードバンドアクセスの進化のなかで, 移動通信の大容量化に向けた研究が行われている [1].このような無線通信の進展のなかで,高性能, 安価かつ小形な無線装置の実用化が求められている. 2000年代に入り、このような要請の中で高周波回路 を含むアナログ回路、ディジタル回路を統合する SoC(System On Chip)への取り組み, すなわち one chip radio の実現が精力的に行われている[2][3]. マイクロ波・高周波技術者にとって, SoC に向けた 第一歩は携帯電話用 RF-IC の 1 チップ化であり, そ のなかでダイレクトコンバージョン受信機に代表さ れる受信機の集積化は最重要課題の一つであった [2][4].今後のマイクロ波・ミリ波領域での大容量 伝送のコンシュマー化のなかで, 受信機技術の更な る進化が必要となっている. 本 MWE2005 では,この 認識の下,受信機設計(本稿),復調処理 [5],半 導体集積化受信機 [6]について解説を行う.

図1に受信機の構成例を示す.移動通信用受信機 としては ,1918 年に Armstrong が完成させたスーパ ーヘテロダイン受信機(図 1(a))が主流である [7] - [10] . 段階的に増幅・周波数変換・ろ波を行う ことで,感度特性と耐干渉特性の両立が容易である. 一方,ゼロ IF 受信機,ホモダイン受信機とも呼ばれ るダイレクトコンバージョン受信機(図 1(b))は RF 信号をベースバンドに直接周波数変換する構成の受 信機である[2][4].このような直接周波数変換の構 成は,1920年代から検討されている[11].しかし固 有の感度劣化の問題により近年まで広く用いられな かった . ダイレクトコンバージョン受信機は , IF の受信フィルタが不要で,受信機の全半導体集積化 に適する.そのため半導体集積度の向上に伴い,コ ンシュマー用受信機の小形化,経済化の観点で検討 が進められてきた . 1980 年代には比較的実現が容易 な FM 放送やページャの FM 受信機のダイレクトコン バージョン化が行われた [12] . 1990 年代に入り第 2 世代携帯電話の普及とともに,携帯電話用ダイレ

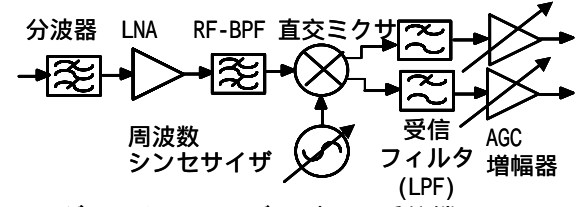
クトコンバージョン受信機が検討され[2][13][14], GSM 端末で実用化がなされた[15]. 2000 年代に入り N-CDMA 端末や W-CDMA 端末での実用化がなされた [16]. このように受信機構成の進化は,通信方式や半導体技術の進展と協調した進化を遂げている.

本稿では受信機技術の基礎的な解説を行う.まず, 2.において無線伝送系のなかでの受信機の位置づけを説明する.3.において受信機性能の劣化要因について説明を行う.さらに4.において受信機の所望性能と高周波性能の関連について述べる.

周波数シンセサイザ

局部 発振器 (BPF)

(a) スーパーヘテロダイン受信機 (PDC端末, IFで復調器に接続)



(b) ダイレクトコンバージョン受信機(W-CDMA 端末,直交検波後,BBで復調器に接続)

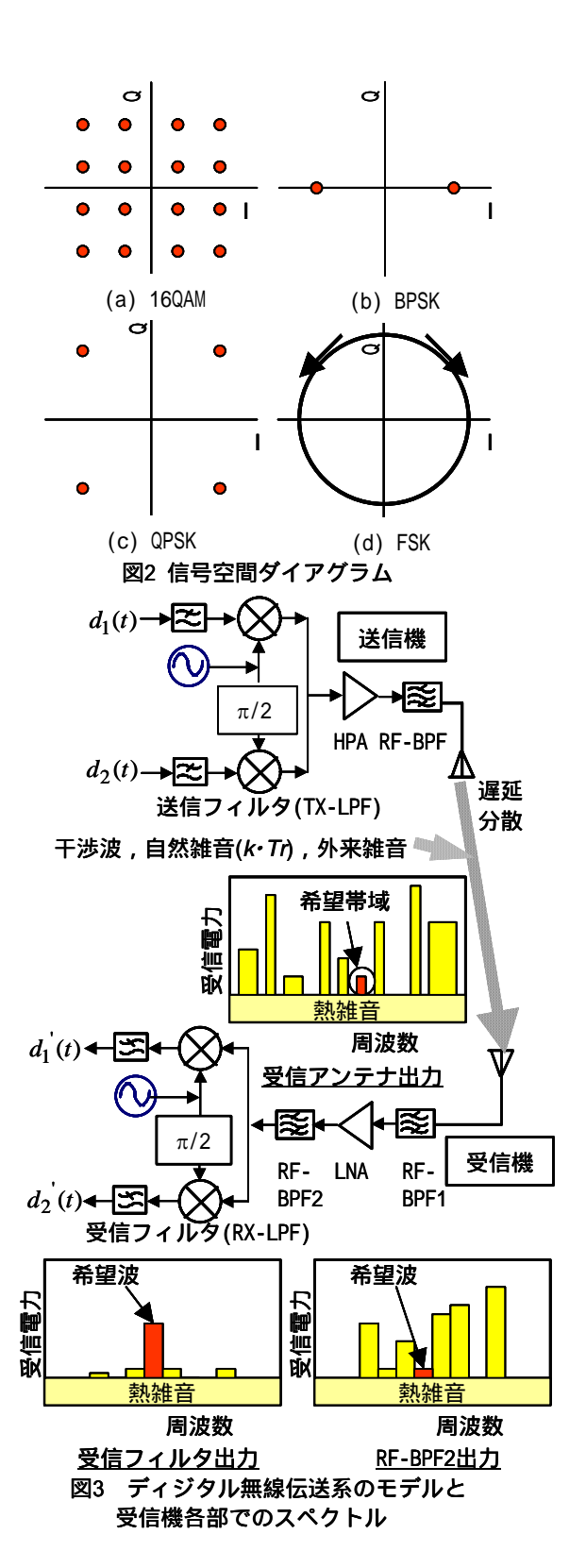
図1 移動通信用受信機の構成例

2. ディジタル無線伝送系のなかでの受信機

ここでは受信機設計の前提条件を与えるディジタ ル無線伝送系全般に関する説明を行う[17]-[23].

2.1 ディジタル変調方式

波の時間波形を $v(t) = A \cdot \sin(2\pi f \cdot t + \phi)$ (A:振幅, f:周波数, :位相)とする .Aをディジタル符号で変調すればASK(Amplitude Shift Keying), fを変調すればFSK(Frequency Shift Keying), を変調すればPSK(Phase Shift Keying)である.ディジタル変調方式は,これらの変調方式あるいはその組み合わせである.図2に無線通信で用いられる代表的なディジタル変調方式の信号空間ダイアグラムを示す.(a)は16値QAM(Quadrature Amplitude Modulation)である.



64QAMや256QAMなどの多値QAMは,多値化により占有 周波数あたりの伝送効率がよい.そのため,大容量 伝送に適している.(b) は2値位相変調 (BPSK: Binary-PSK), (c) は4値位相変調 (QPSK: Quadri-PSK)である.PDCやPHSで用いられる /4シフトQPSK, W-CDMAで用いられるHPSK(Hybrid-PSK), EDGEで用い られる8PSKもPSKの一種である.(d) は2値FSKである. 符号によりシンボル点の遷移方向が反転する.多値化すると,符号の遷移方向のみならず遷移速度が変化する.変調指数が0.5の場合をMSK(Minimum-SK)と呼び,GSMで用いられるGMSK(Gaussian MSK)はMSKの一種である.時間に対する振幅と位相の変化に着目すると,QAMは符号により振幅と位相が変化する.PSK/FSKでは全符号で振幅が一定である.ただし.PSKでは符号間の遷移中に振幅が変化する.一方,FSKでは符号点・符号間で完全に定包絡線となる.

2.2 ディジタル無線伝送系

図3に QPSK でのディジタル無線伝送系のモデルを示す.送信機においては,ディジタル伝送符号 d1(t),d2(t)を送信フィルタ(TX-LPF)で帯域制限し,直交変調器で変調を行い,送信波を送出する.無線伝送区間においては,伝播による減衰や遅延のほか,マルチパス伝送による信号強度のフェージングや符号間干渉などによる信号品質の劣化が生じる.また,他の無線機からの干渉波,自動車の雑音のような外来雑音,大気,大地あるいは宇宙からの自然雑音などが重畳する.受信機には所望の受信波のほか,これらの干渉波や雑音が入力する.受信機内のRFフィルタ(RF-BPF)により干渉波を減衰させ,直交検波し,受信フィルタ(RX-LPF)により近接する干渉波や雑音電力を抑制し,d1'(t),d2'(t)を復調する.

つぎにこのディジタル無線伝送系におけるフィルタの役割について述べる。何らフィルタによる帯域制限を行わないディジタル伝送符号の周波数スペクトラム $V(\omega)$ は次式の sinc 関数で与えられ,自占有帯域以外へ送信電力が漏洩する.

$$V(\omega) = A \cdot T \cdot \sin(\omega T/2) / (\omega T/2) \tag{1}$$

周波数の利用効率を高めるためには,送信フィルタによる帯域制限が必要となる.受信機では図3に示すような干渉波を抑制する機能が RF フィルタ (RF-BPF)に求められ,近接する干渉波と受信波に重量する雑音を抑制し受信波のC/Nを改善する整合フィルタの機能が受信フィルタ(RX-LPF)に求められる.このようにディジタル無線伝送路全体で送信フィルタと受信フィルタとによる帯域制限を行う.このような帯域制限に用いるフィルタ特性に,次式のコサインロールオフ伝送特性がある.

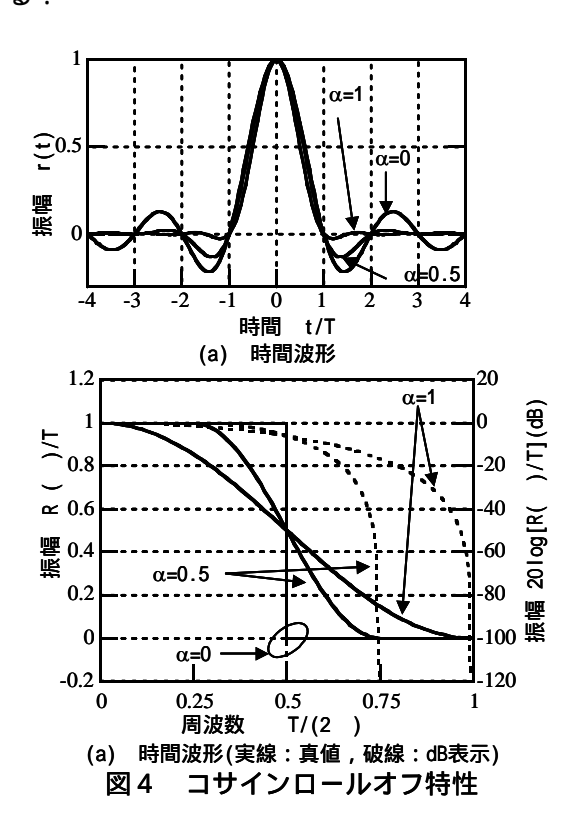
$$r(t) = \frac{\sin\left(\frac{\pi t}{T}\right)}{\frac{\pi t}{T}} \cdot \frac{\cos\left(\frac{\alpha \pi t}{T}\right)}{1 - \left(\frac{2\alpha t}{T}\right)^2}$$
 (時間ドメイン)

$$R(\omega)=T \hspace{1cm} : \hspace{1cm} 0 \leq \left|\omega\right| \leq \frac{\pi}{T} \left(1-\alpha\right)$$

$$= \frac{T}{2} \left[1-\sin\left\{\frac{T}{2\alpha}\left(\omega-\frac{\pi}{T}\right)\right\}\right] \hspace{1cm} : \frac{\pi}{T} \left(1-\alpha\right) < \left|\omega\right| \leq \frac{\pi}{T} \left(1-\alpha\right)$$
(周波数ドメイン) (2)

ここで はロールオフ率であり波形整形した後の帯域幅を決めるパラメータである.図4にコサインロールオフ特性のフィルタ特性を示す.時間波形に着

目すると,隣接符号の位置での振幅は0であり,隣接符号の中心(ナイキスト点)では符合間干渉が生じていない。またを小さくするほど狭帯域となるが,応答が長時間となる.このようなコサインロールオフ特性を,送信フィルタと受信フィルタ全体で実現するため,送信フィルタ,受信フィルタのそれぞれに,ルートコサインローフオフ特性 $\sqrt{R(\omega)}$ を分配する



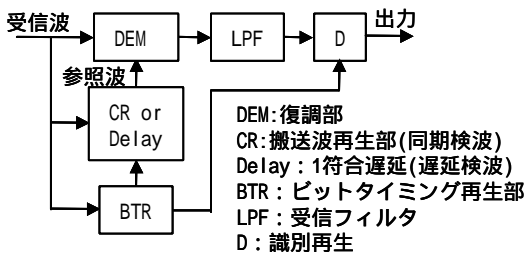


図5 PSK用復調器の構成

2.3 復調特性

図 5 に PSK 用復調器の構成を示す.受信波と参照波を比較し,符号を再生する.同期検波の参照波はPLL などで再生された搬送波,遅延検波の参照波は符号が 1 つ前の受信波である.低雑音の再生搬送波を参照する同期検波は高感度な特長がある.遅延検波は HW 構成が簡易であり,また移動通信のようにフェージングなど伝播劣悪な条件下での復調に適する特長がある.同期検波方式の復調器の符号誤り率 Pe_1 (絶対位相による符号化), Pe_2 (差動符号化)は次式で与えられる.

$$Pe_1 = (1/2) erfc(E_b/N_0)$$
 (3)

$$Pe_2 = 2Pe_1(1 - Pe_1) \tag{4}$$

ここで $erfc(\cdot)$ は誤差補関数,Ebは符号 1 ビットあたりの電力 [W/bit],No は 1Hz あたりの雑音市力 [W/Hz]である.したがって Eb/No は符号 1 ビット たりの電力と 1Hz あたりの雑音の電力比であり、 N比に相当する.また絶対位相による符号化とは写りなるよの符号の遷移量に伝送情報を与える場合であり,差動符号化とは空間ダイヤである 2 ビット分の情報を誤り符号から求められる 2 ビット分の情報を誤り符号から求められる 2 ビット分の情報を誤り符号に表記を回避できるのは 3 が、符号誤り率は約 3 倍高くなる.一方,るれた搬送波位相の不確定性の問題を回避できるれた搬送波位相の不確定性の問題を回避できるれた搬送波位相の不確定性の問題を可避できるれた 3 で与えられる 3 に対している。 3 で与えられる 3 に対している。 3 に対しないる。 3

$$Pe_{3} = \frac{1}{2} \exp\left\{-\left(E_{b}/N_{0}\right)\right\}$$
 (BPSK) (5)

$$= Q(a,b) - \frac{1}{2}I_{0}(ab) \cdot \exp\left\{-\frac{1}{2}\left(a^{2} + b^{2}\right)\right\}$$
 (QPSK)

$$Q(a,b) = \int_{b}^{\infty} t I_{0}(at) \exp\left\{-\frac{1}{2}\left(t^{2} + a^{2}\right)\right\} dt$$

$$a = \sqrt{2\left(E_{b}/N_{0}\right)\left(1 - 1/\sqrt{2}\right)}, b = \sqrt{2\left(E_{b}/N_{0}\right)\left(1 + 1/\sqrt{2}\right)}$$

ここで $lo(\cdot)$ は 0 次の第 1 種変形 Bessel 関数 , Q(a,b)は Marcum Q 関数である . 図 6 に符号誤り率の理論値を示す .

受信機の設計では,弱電界の条件,妨害波からの 干渉条件において所望の Eb/NO を実現するように, 無線回路の雑音特性やひずみ特性を設計する.

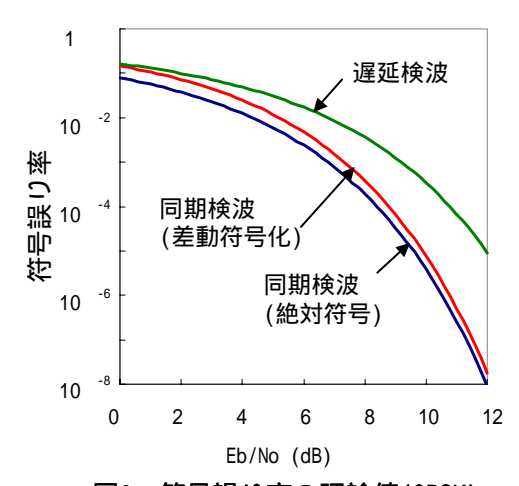


図6 符号誤り率の理論値(QPSK)

3. 受信性能の劣化要因

3.1 雑音

伝送路や受信機による雑音が重畳した希望波 $v_{in}(t)$ は次式で表される.

$$v_{in}(t) = A_n(t) \cdot \cos \{\omega_c t + \phi_c + \phi_s(t) + \phi_n(t)\} + V_n(t)$$
 (6)

ここで ω_c は搬送波周波数 ϕ_c は搬送波の位相 $\phi_s(t)$ は符号により変調された位相であり PSK を想定している.さらに $\phi_n(t)$ は振幅雑音 $\phi_n(t)$ は位相雑音であり主に局部発振器に起因する $\phi_n(t)$.

(1) 加法性白色雑音

希望波に加わる加法性白色雑音には $_{(a)}$ アンテナ雑音 $_{(b)}$ 受信機の内部雑音 $_{(c)}$ 送信雑音がある $_{(c)}$ 受信機入力端 $_{(c)}$ 大出力 $_{(c)}$ に換算した帯域 $_{(c)}$ 1Hz あたりの雑音電力密度 $_{(c)}$ 2は $_{(c)}$ 次式で与えられる $_{(c)}$

 $P_{nrx} = k \cdot T_a + P n_{add} + L_{dpx} \cdot P_{ntx}$ (W/Hz) ここで,kはボルツマン定数(1.38X10⁻²³J/K), T_a は アンテナの雑音温度 , $P_{n_{add}}$ は受信機の入力端に換算 した受信機全体の熱雑音電力密度, $L_{\scriptscriptstyle dox}$ は無線機の 送受信帯域分波器のアイソレーション , P_{nt} は無線 機の送信機から放射される送信雑音電力密度である. $k \cdot T_a$ はアンテナ雑音であり ,アンテナ覆域内に存在 する自然雑音(天体からの宇宙雑音,大気の吸収雑 音,地表の熱雑音)とアンテナ内部の損失に起因す る熱雑音で与えられる.陸上移動通信では,アンテ ナの覆域内に人体,地表,建物が見えるため, T_a を 室温 T_r (293K, 20) で近似する.ちなみに衛星通信 では, $_{T_a} << T_r$ となるように,地表を避けるようア ンテナの放射パターンを設計する[23] . $P_{n_{odd}}$ は受信 機の熱雑音の項であり,受動部品の損失による熱雑 音や ,半導体のショット雑音に起因する . $L_{dox}\cdot P_{ntx}$ は 分波器を介し干渉する送信雑音であり,同時に送受 信を行う場合に考慮される.そのほか,自動車など から放射される人工雑音や,他の無線機から放射さ れるスプリアスなどの外来雑音がある.これらの雑 音は外部要因となるため,受信機設計では考慮しな L١.

つぎに図 7 に雑音指数 F の説明図を示す . 雑音指数 F は入力信号の SN 比 $\left(P_{S_{in}}/P_{n_{in}}\right)$ と出力信号の SN 比 $\left(P_{S_{out}}/P_{n_{out}}\right)$ との比で定義され,次式で表される. $F=1+P_{n_{add}}/(k\cdot T_r)$ (8) ここで, $k\cdot T_r$ は室温 T_r の入力側の信号源インピーダンスから取り出される熱雑音電力密度であり,室温 $\left(T_r=293K\right)$ の場合, $k\cdot T_r=-173.9$ (dBm/Hz) である. 受信機の雑音指数 F が与えられると,式 (8) より $P_{n_{add}}$ は次式で与えられる.

$$P_{n_{add}} = (F-1) \cdot k \cdot T_r$$
 (W/Hz) (9) 式(7)と式(9)より受信機入力端換算での加法性白色雑音の電力密度 P_{nrr} は次式で与えられる .

$$\begin{aligned} P_{nrx} &= k \cdot T_r + (F - 1) \cdot k \cdot T_r + L_{dpx} \cdot P_{ntx} \\ &= F \cdot k \cdot T_r + L_{dpx} \cdot P_{ntx} \end{aligned} \tag{10}$$

送受信機を極限まで低雑音化しても(F=1),アンテナ

雑音に起因する $k\cdot T_r$ が残る.次に n 段の回路ブロックを接続したときの雑音指数 Ft の説明図を図 8 に示す.各段の雑音指数を $Fi(i=1,2,\ldots,n)$,電力利得を $Gp_i(i=1,2,\cdots,n)$ とすると F_t は次式で与えられる.

$$F_t = F_1 + \frac{F_2 - 1}{Gp_1} + \frac{F_3 - 1}{Gp_1 \cdot Gp_2} + \dots + \frac{F_n - 1}{Gp_1 \cdot \dots \cdot Gp_{n-1}}$$
(11)

受信機の雑音指数 F_t に対し,最前段の回路の雑音指数が支配的である.より具体的には LNA の雑音指数と利得が支配的である.またフィルタや伝送線路などの損失 L を有する受動回路の雑音指数 F は,F=L である.以上の議論は,雑音指数 F を定義する各回路が,信号源および前段・後段の回路と負荷に対して完全に整合している場合に成立する.

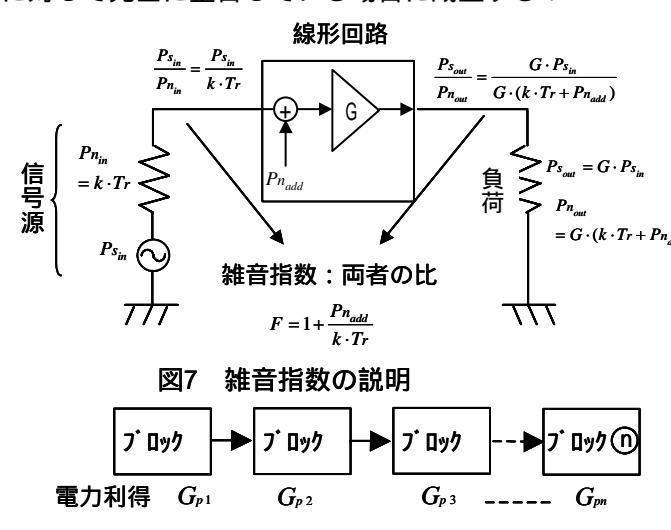


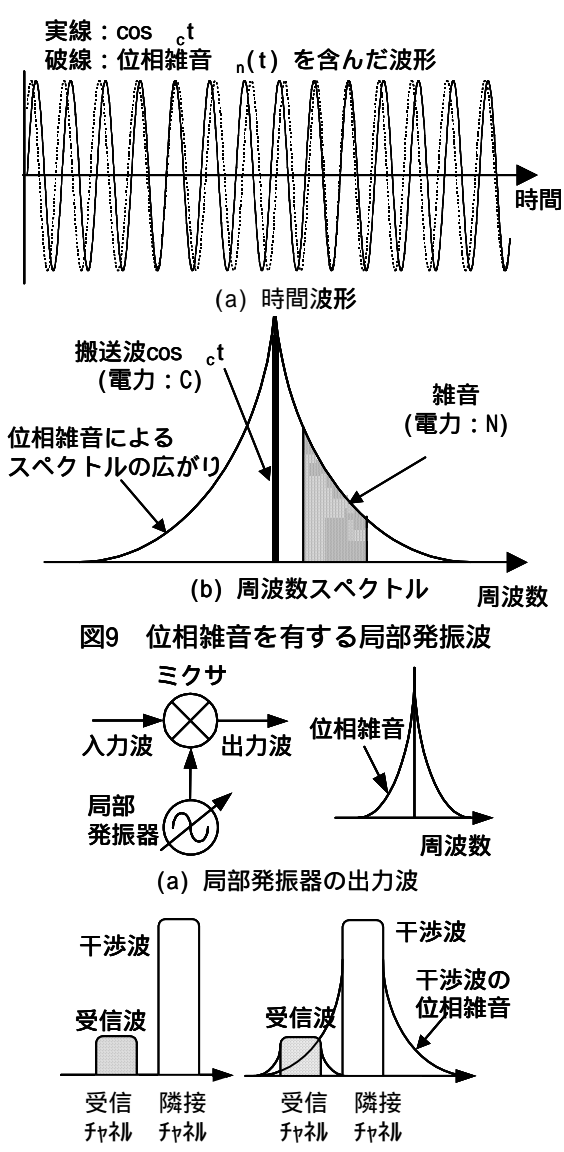
図8 多段接続した回路ブロック

 F_2

(2)局部発振器の雑音[24]

雑音指数

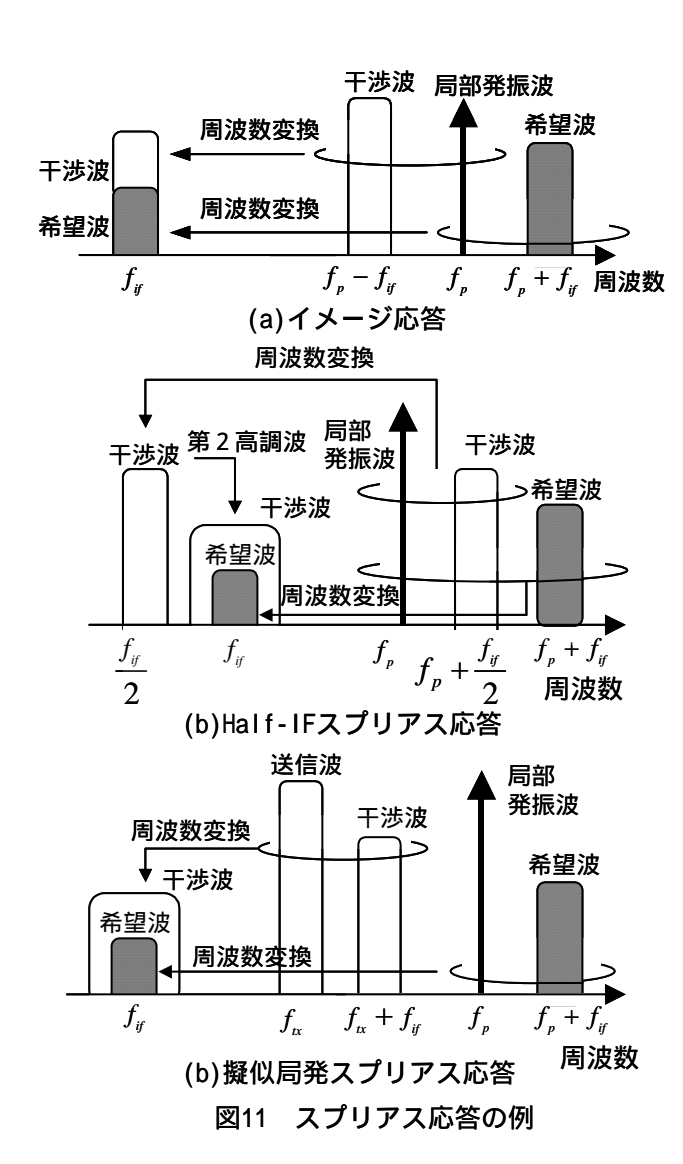
振幅雑音と位相雑音は局部発振器に起因する雑音 である.特に位相雑音は高レベルであり,受信機の 感度と選択度の劣化要因となる.ここでは位相雑音 の説明を行う . 図 9 に位相雑音 $\phi_n(t)$ を有する局部発 振波 $v_{_{p}}(t) = \cos\{\omega_{c}t + \phi_{n}(t)\}$ の時間波形と周波数スペ クトルを示す . 位相雑音 $\phi_n(t)$ により , 時間波形にゆ らぎが生じ,周波数スペクトルがスカート状に広が る . そのため位相雑音 $\phi_n(t)$ により , 符号誤り率と隣 接チャネルとの干渉が劣化する、符号誤り率の劣化 は,搬送波の位相にゆらぎ $\phi_n(t)$ が生じ,空間ダイヤ グラム上の符号位置が円周方向に分散することによ る.この場合,受信フィルタの帯域内すなわち伝送 帯域内の位相雑音が問題となる .同期検波(誤り訂正 なし)における 10⁻⁶の誤り率では , N/C= -30dBc 程度 の伝送帯域内の位相雑音により 0.2dB 程度の劣化が 生じる.-25dBc 以上では急激に劣化する.遅延検波 においては,前後の2シンボルの比較のみを行うた め,位相雑音による劣化は同期検波より緩和される. 次に隣接チャネルとの干渉については周波数スペクトルの側波帯への広がりに起因する .図 10 に示すように ,位相雑音により周波数スペクトルが広がると , 隣接チャネルからの干渉を受ける .



(b)ミクサへの入力波 (c)ミクサからの出力波 図10 位相雑音による隣接チャネルからの干渉

3.2 受信スプリアス応答

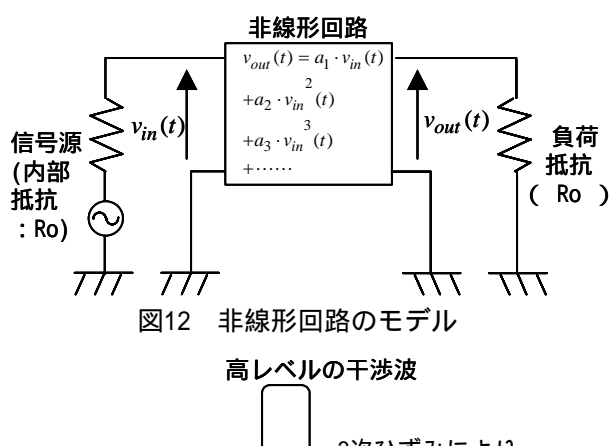
受信スプリアス応答は,希望波周波数以外の干渉波に対する受信機の応答であり,主にミクサとフィルタの特性に依存する.まず 1 次の混合積による受信スプリアス応答であるイメージ応答を図 11(a)に示す.ミクサは乗算器であり,周波数 f_1 と周波数 f_2 の 2 つの波を乗算すると,(f_1 + f_2)に周波数変換される.このため局部発振周波数を f_ρ とすると,中間周波数 f_{ij} に周波数変換される信号周波数 f_{ij} に周波数変換される信号周波数 f_{ij} に形成数の 2 周波があり,それぞれが f_ρ を挟んだ影像の関係となる.受信機では,RF-BPF をミクサより前段に設け,影像周波数からの干渉と雑音を抑制する.

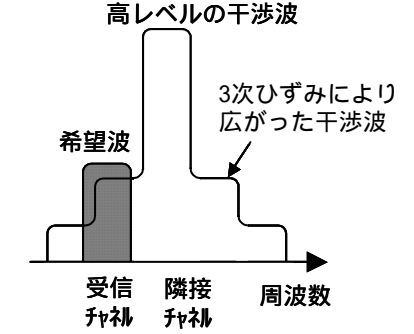


以上は 1 次の混合積での応答であるが,受信機の高次の非線形性に起因する高次の混合積によるスプリアス応答があり,その周波数 $f_{p,q,r}$ は次式で与えられる.

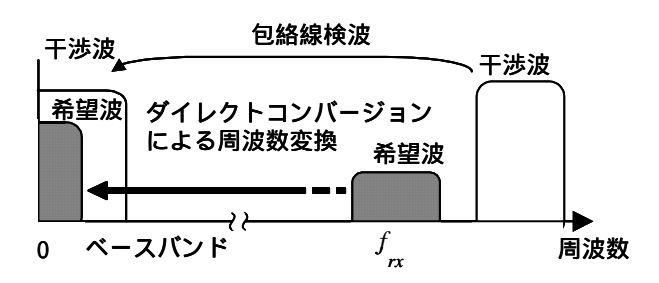
$$f_{p,q,r} = \left| f_{if} \pm q \cdot f_p \pm r \cdot f_{tx} \right| / p \tag{12}$$

ここで p は干渉波に対する次数 , q は局部発振波に対する次数 , r は送信波(周波数 : f_{tx})に対する次数である . r は送受信を同時に行う場合に考慮が必要である . 図 11(b)は Half IF スプリアス応答と呼ばれ , p=2 , q=2 , r=0 の混合積に起因する $f_{2,2,0}=f_{ff}/2\pm f_{p}$ でのスプリアス応答である[10][25] . ミクサにこの周波数の干渉波を入力すると , 干渉波は f_{ff} に周波数変換され 希望波に干渉する 図 11(c)は送受信を同時に行うシステムで生じ , 擬似局発スプリアス応答[10]と呼ばれる . p=1 , q=0 , r=1 の混合積に起因する $f_{1,0,1}=f_{ff}\pm f_{fx}$ でのスプリアス応答 ある . 送信波 f_{tx} との混合により , 干渉波が f_{ff} に周波数変換され , 希望波に干渉する .

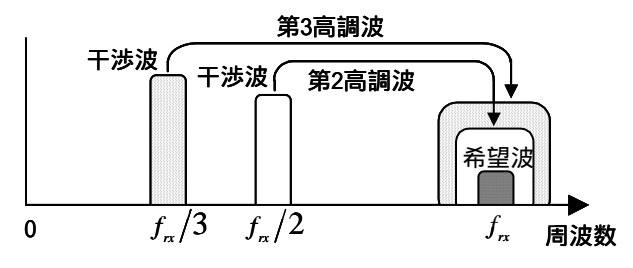




(a) 3次ひずみによる干渉



(b) 2次ひずみによる干渉 (ダイレクトコンバージョン受信機の場合)



(c) 高調波による干渉

図13 1 波の干渉波を入力した時の非線形性 による干渉

3.3 非線形ひずみ

図 12 に非線形回路のモデルを示す.入力電圧 $v_{in}(t)$ に対して出力電圧 $v_{out}(t)$ は次式で与えられる. $v_{out}(t) = a_1 \cdot v_{in}(t) + a_2 \cdot v_{in}^2(t) + a_3 \cdot v_{in}^3(t) + \cdots$ (13) a_1 は線形動作時の電圧利得であり, a_i (i > 1) は高次項に対する係数である.非線形回路では $v_{in}(t)$ に対する 2 次以上のひずみを含み,このひずみにより受

信特性の劣化を生じる .高周波デバイスには ,式(13) で表される振幅の非線形性(AM-AM 変換)のみならず ,位相の非線形(AM-PM 変換)がある . 受信機では ,AM-AM 変換のみ考慮で十分である場合が多い .

非線形ひずみによる受信性能の劣化には,高レベ ルの希望波を入力したときの符号誤り率の劣化と 高レベルの干渉波を入力したときの希望波への干渉 がある.非線形回路に高レベルの希望波を入力し, その伝送波形にひずみを生じると,図2に示すよう に振幅情報を含む QAM 系の変調方式や ,CDMA のよう に非線形性により符号間直交性が損なわれるシステ ム, OFDM のようなマルチキャリア伝送では, 符号誤 り率が劣化する [17].これらのシステムでは,高レ ベル入力時に受信フロントエンドを低利得とするよ う制御し,符号誤り率の劣化を回避する.つぎに高 レベルの干渉波を非線形回路に入力したときの劣化 は,干渉波が受信機の非線形性により周波数変換さ れ,希望波に干渉することによる感度劣化である. このような干渉による感度劣化を明確にするため、 1波の干渉波入力時と,2波の干渉波入力時におけ る干渉の様子をそれぞれ説明する.

(1) 1波干渉波入力時の非線形性の問題

ここでは 3 次までの非線形性を考慮し, 1 波干渉波入力時の非線形性の問題について述べる.式(13) において 3 次の非線形まで考慮すると,干渉波 $v_{in}(t) = A \cdot \cos \omega t$ を入力したときの非線形回路の出力電圧 $v_{out}(t)$ は次式で与えられる.

$$v_{out}(t) = \frac{a_2 \cdot A^2}{2} + \frac{4a_1 + 3a_3 \cdot A^2}{4} A \cdot \cos \omega t + \frac{a_2 \cdot A^2}{2} \cos 2\omega t + \frac{a_3 \cdot A^3}{4} \cos 3\omega t$$
 (14)

干渉波が変調波であれば,振幅 $_A$ や $_\omega$ が時変項となる。図 13 に 1 波の干渉波を入力した時の非線形性による干渉の様子を示す。同図(a) は 3 次ひずみによる干渉波の変調スペクトルの拡がりによる干渉である。同図(b) はダイレクトコンバージョン受信機における包絡線検波による干渉である。 2 次の非線形性により干渉波の包絡線成分 $a_2\cdot A^2/2$ が検波され,干渉波が変調波であればベースバンド領域の雑音状の電圧となり所望波に干渉する。同図(c) は高調波による干渉である.

(2) 2波干渉波入力時の非線形性の問題

式(13)において 3 次の非線形まで考慮すると, 2 波からなる干渉波 $v_{in}(t) = A \cdot \cos \omega_a t + B \cdot \cos \omega_b t$ を入力したときの非線形回路の出力電圧 $v_{out}(t)$ は次式で与えられる.

$$v_{out}(t) = \frac{a_2}{2} \left(A^2 + B^2 \right)$$

$$+ \frac{4a_1 + 3a_3(A^2 + 2B^2)}{4} A \cdot \cos \omega_a t + \frac{4a_1 + 3a_3(B^2 + 2A^2)}{4} B \cdot \cos \omega_b t$$

$$+\frac{a_{2}}{2}\left(A^{2} \cdot \cos 2\omega_{a}t + B^{2} \cdot \cos 2\omega_{b}t\right) + \frac{a_{3}}{4}\left(A^{3} \cdot \cos 3\omega_{a}t + B^{3} \cdot \cos 3\omega_{b}t\right)$$

$$+a_{2} \cdot A \cdot B \cdot \cos(\omega_{a} + \omega_{b})t + a_{2} \cdot A \cdot B \cdot \cos(\omega_{a} - \omega_{b})t$$

$$+\frac{3a_{3} \cdot A \cdot B}{4}\left\{A \cdot \cos(2\omega_{a} - \omega_{b})t + B \cdot \cos(2\omega_{b} - \omega_{a})t\right\}$$

$$+\frac{3a_{3} \cdot A \cdot B}{4}\left\{A \cdot \cos(2\omega_{a} + \omega_{b})t + B \cdot \cos(2\omega_{b} + \omega_{a})t\right\}$$

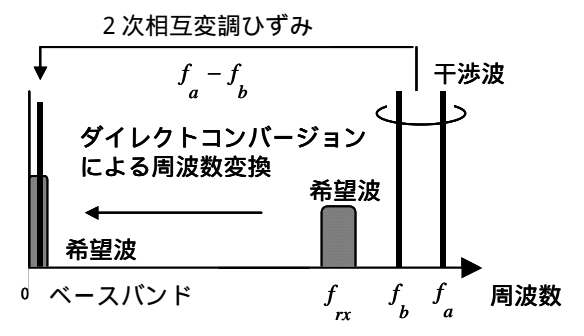
$$(15)$$

式(15)より非線形回路の出力には,それぞれの干渉波の基本波,直流成分,3次までの高調波に加え,2波の干渉波の混合積が生じることがわかる.前述の1波干渉波入力時と同様の干渉に加え,2波干渉波入力時固有の干渉を生じる.図14に2波の干渉波を入力した時の非線形性による受信感度劣化の様子を示す.同図(a)は2次相互変調ひずみによる干渉,同図(b)は3次相互変調ひずみによる干渉,同図(c)は混変調ひずみによる干渉のる.

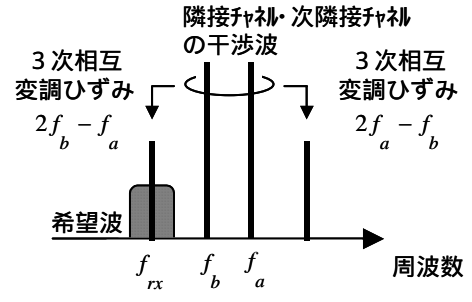
2次相互変調ひずみは式(15)において, $(\omega_a\pm\omega_b)$ で与えられる混合積である. ω_a , ω_b の角周波数が近接する場合,角周波数の差 $|\omega_a-\omega_b|$ はベースバンド領域となる.スーパーヘテロダイン受信機では IFフィルタによりベースバンド領域の 2 次相互変調びずみは抑制される.しかしながらダイレクトコンバージョン受信機の場合,ミクサの 2 次相互変調ひずみが感度劣化要因となる.入出力特性において,等振幅(A=B)入力波と 2 次相互変調ひずみの出力で力の延長線の交点を 2 次相互変調ひずみのインターセプト点 IP2 ,回路の入力端に換算した IP2 を IIP2 ,出力端に換算した IP2 を OIP2 と定義する.入力波 P_{im2} (W/波)に対する入力換算での 2 次相互変調ひずみ P_{im2} (W/波)は次式で与えられる.

$$P_{im2} = (P_{in})^2 / IIP2$$
 (W/波) (16)
 $IIP2$ は式(15)より,次式で近似できる.
 $IIP2 \approx (a_1/a_2)^2 / (2R_0)$ (W) (17)

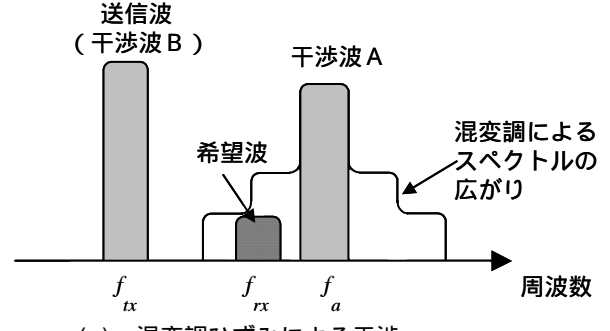
3 次相 互変調 ひずみは式 (15) において, $(2\omega_a\pm\omega_b)$, $(2\omega_b\pm\omega_a)$ で与えられる混合積である. 等周波数間隔で送受信周波数が割り当てられる移動通信システムでは,希望波の隣接チャネル,次隣接チャネルの干渉波の3次相互変調ひずみが希望波びずみは干渉波の近傍に生じるため,フィルタでの除,所定の3次相互変調ひずみレベルに抑えるよされる・受信フロントエンドでは,所にの3次相互変調ひずみレベルに抑えるよされる・2次相互変調ひずみと同様,3次相互変調ひずみについても,インターセプト点 IP3 を OIP3 と定義する .入力波 P_{in} (W/tone)に対する入力換算の3次相互変調ひずみ P_{im3} (W/w) は次式で与えられる・3次相互変調ひずみ P_{im3} (W/w) は次式で与えられる・3次相互変調ひずみ P_{im3} (W/w) は次式で与えられる・3のに



(a) 2次相互変調ひずみによる干渉 (ダイレクトコンバージョン受信機の場合)



(b) 3次相互変調ひずみによる干渉



(c) 混変調ひずみによる干渉

図14 2波の干渉波を入力した時の非線形性 による干渉

 $P_{im3} = (P_{in})^3/(IIP3)^2$ (W/波) (18) IIP3 についても IIP2 同様,次式で近似できる. $IIP3 \approx (2/3) \cdot (1/R_0) \cdot |a_1/a_3|$ (W) (19) また IIP3 と 1dB 利得抑圧時の入力電力 IP_{1db} (W) との 関係は, $IIP3/IP_{1db} \approx 9.2$ (9.6dB) で近似でき,簡易な検討に便利である.つぎにn 段接続された回路ブロックでの,各段の IIP3 を IIP_i ($i=1,2,\cdots,n$),電圧利得 a_1 を $(a_1)_i$ ($i=1,2,\cdots,n$) とすると,全体の IIP3 である IIP3. は次式で近似できる.

$$\frac{1}{IIP3_{t}} \approx \frac{1}{IIP3_{1}} + \frac{\left(a_{1}\right)_{1}^{2}}{IIP3_{2}} + \frac{\left(a_{1}\right)_{1}^{2} \cdot \left(a_{1}\right)_{2}^{2}}{IIP3_{3}} + \dots + \frac{\left(a_{1}\right)_{1}^{2} \cdot \dots \cdot \left(a_{1}\right)_{n-1}^{2}}{IIP3_{n}}$$
(20)

ここでは ω_a, ω_b から離れた周波数領域(2次ひずみ成分:直流近傍や第2高調波周波数近傍)の混合積

が十分減衰している前提で近似している[4].これより、受信機全体の3次相互変調ひずみに対し、後段の回路の3次ひずみ特性が支配的であることがわかる.RF段で最後段の受信ミクサの3次相互変調ひずみが受信機に対し支配的である.

混変調ひずみは式(15)において $(3/2)a_3B^2 \cdot A\cos \omega_a t$ 、 $(3/2)a_3A^2 \cdot B\cos \omega_b t$ で与えられる混合積である.高レベルの変調波 $B \cdot \cos \omega_b t$ の振幅成分の自乗項 B^2 により,干渉波 $A \cdot \cos \omega_a t$ が変調される現象である.送受信を同時に行う W-CDMA では,送信波が高レベルの変調波 $B \cdot \cos \omega_b t$ として振舞い,隣接チャネルの干渉波 $A \cdot \cos \omega_a t$ が混変調ひずみにより希望波に干渉する場合がある[4].

以上の検討は 3 次までの近似であり , GaAs FET 増幅器のように , 高次の非線形性が弱く , かつデバイスの動作点が飽和点から十分なバックオフがあれば , 十分良い近似である . これらの条件を留意してこれらの式を利用されたい .

3.4 線形ひずみ

ディジタル無線伝送では,符号間干渉を生じない 無ひずみフィルタの適用を想定している.線形ひず みは,送受信機に用いるフィルタが無ひずみ条件と なる振幅特性,群遅延特性から外れることにより生 じる波形ひずみであり、符号間干渉による感度劣化 の原因となる[26].送信フィルタについてはディジ タルフィルタによりルートコサインローフオフ特性 特性が実現されている[19]. 受信フィルタについて は,高感度が要求される衛星通信では,送信フィル タ同様,ディジタルフィルタが用いられる場合が多 い[27].低電流化が要求されるモバイル通信では, IF 帯域のセラミックフィルタ[28] , ベースバンド帯 域のアクティブフィルタ[16][29][30]などが用いら れる.振幅特性は受信フィルタの等価雑音帯域幅が 伝送帯域と同等となり,かつ帯域外の妨害波を抑制 し、所定の選択度が得られるよう設計される.また, 位相特性は1符号長より十分短い時間の群遅延偏差 となるよう設計される.そのため,全帯域通過フィ ルタによる遅延等化が行われる場合もある[30].

3.5 直交ミクサのベクトル誤差

直交ミクサを用い希望波の直交検波を行う受信機では、そのベクトル誤差が受信感度に影響を与える、ベクトル誤差は、DC オフセット、直交振幅誤差、そして位相誤差により定義される。これらの誤差要因により伝送符号の空間ダイヤグラムがオフセット(DC オフセット),あるいは楕円に変形(振幅誤差、位相誤差)し、符号誤り率が高まる。

4. 受信機性能

4.1 受信機性能の規格と劣化要因

移動通信用受信機では,感度性能のほか,耐干渉性の定量評価を目的に,様々な項目が設定されている[31].以下,規格で定義される受信性能の概要に

ついて述べる、表 1 に主要な受信性能に関係する回路性能とその劣化要因についてまとめる.

表 1 主要な受信性能と関係する無線回路の性能

受信性能	関係する無線回路の性能
1.感度	(1)雑音指数 (2)送信波による雑音特性の劣化 ・受信機の飽和による雑音指数の劣化 ・送信波の受信帯雑音 ・ミクサの2次ひずみによる送信波の自己検波(DCR) (3)復調性能 (4)無線回路による復調性能の劣化 ・局部発振器の位相雑音 ・受信フロントエンドの非線形ひずみ ・受信フィルタの線形ひずみ ・直交検波時のベクトル誤差
2.隣接 チャネル 選択度	(1)受信フィルタの減衰量 (2)干渉波のスペクトル広がり ・局部発振器の位相雑音 ・受信フロントエンドの3次・5次ひずみ ・受信フロントエンドの混変調ひずみ (3)干渉波の自己検波(DCR) ・ミクサ,ベースバンドの2次ひずみ
3.相互 変調 特性	(1)受信フロントエンドの 3 次ひずみ (2)受信フィルタでの干渉波の減衰量
4.ブロッ キング	(1)干渉波周波数でのRF-BPFの減衰量(2)干渉波周波数でのミクサのスプリアス応答(3)受信フロントエンドの飽和特性

(DCR)はダイレクトコンバージョン受信機固有の 劣化要因

4.2 受信感度

受信感度は基準感度あるいは最小受信感度とも呼ばれ、図 15 に示すように受信可能な希望波の最通低にいてある。このとき、受信感度点での所定の通信にの符号誤り率 Pe など)も、あわせて規定される。この受信感度は無線回路の熱雑音と、無るでの劣化を含めた復調性能とから与えられるの数度化のためには、雑音指数の改善、付加雑音のの代化を含めた復調性能の改善、付加雑音のがのでのがクトル誤差)の抑制が必要である。付加雑音には、アナログ FM 方式や W-CDMA 方式ないでの送信波の干渉(雑音波の劣化、ダイレクトコンバージョン受信機である。

4.3 隣接チャネル選択度

隣接チャネル選択度は,図16に示すように,隣接 チャネルに高レベルの干渉波を加えた時の受信品質 の規定であり,主に受信フィルタの減衰量に関係す

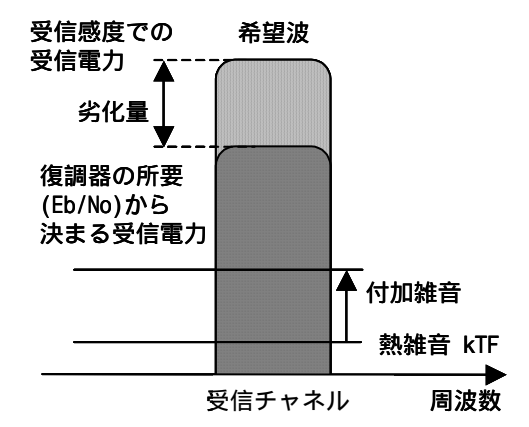


図15 受信感度の説明図

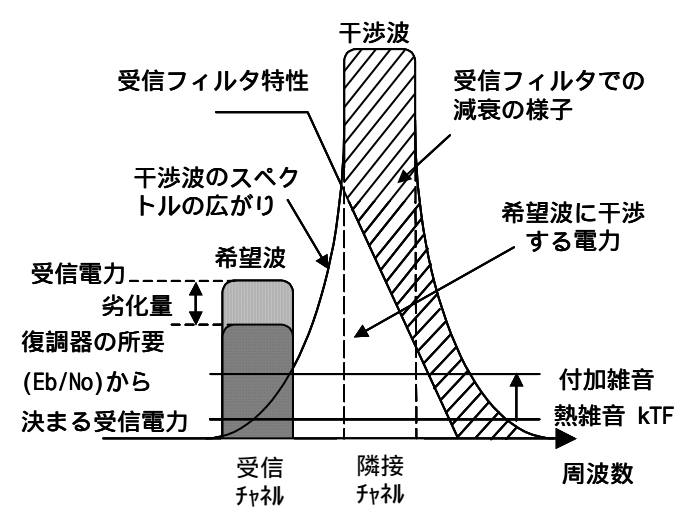


図16 隣接チャネル選択度の説明図

る評価項目である.さらに隣接チャネル選択度の劣化要因としては、(a)局部発振器の位相雑音による干渉波のスペクトルの広がり、(b)3次ひずみによる干渉波のスペクトルの広がり、(c)直交ミクサの2次ひずみによる干渉波の包絡線成分のベースバンドへの干渉(ダイレクトコンバージョン受信機の場合)、(d)送信波に起因する混変調ひずみによる干渉波のスペクトルの広がり(W-CDMA方式など送受信を同時に行うシステムの場合)がある.

4.4 相互変調特性

相互変調特性は ,図 17 に示すように隣接チャネルと次隣接チャネルとに高レベルの二信号の干渉波を加えた時の受信品質の規定であり , 主に受信機の 3 次相互変調ひずみに関する評価項目である.

4.5 プロッキング/スプリアス応答

ブロッキング特性は,図18に示すように,任意の周波数に高レベルの干渉波を加えた時の受信品質の規定であり,主に受信ミクサのスプリアス応答特性と受信機のフィルタの減衰量に関する評価項目である.プロッキング特性に対しては,スプリアス応答が支配的であるが,近接周波数のブロッキングが規定されているシステムでは,過大入力による受信機

の雑音指数の劣化に注意を要する.

4.6 受信機の各プロックへの性能配分手順

以上の内容を踏まえ,受信機の要求性能から各ブロックの目標性能を以下の手順で配分する.

- (a) 復調性能から所望 Eb/No 値の把握.
- (b) 位相雑音,線形/非線形ひずみ,直交ミクサの ベクトル誤差による復調性能の劣化量の配分,
- (c) 所望 Eb/No と復調性能の劣化量,所望の感度性能から受信機の雑音指数の設計,
- (d) 隣接チャネル選択度から受信フィルタと局部 発振器の位相雑音の設計,
- (e) 相互変調特性から受信機の3次相互変調ひず みの設計,
- (f) ブロッキング特性からミクサのスプリアス応答とフィルタ減推量の設計.

その他,ダイレクトコンバージョン受信機の2次ひずみ特性やDCオフセットなど,受信機のアーキテクチャ固有の課題を検討する必要がある.

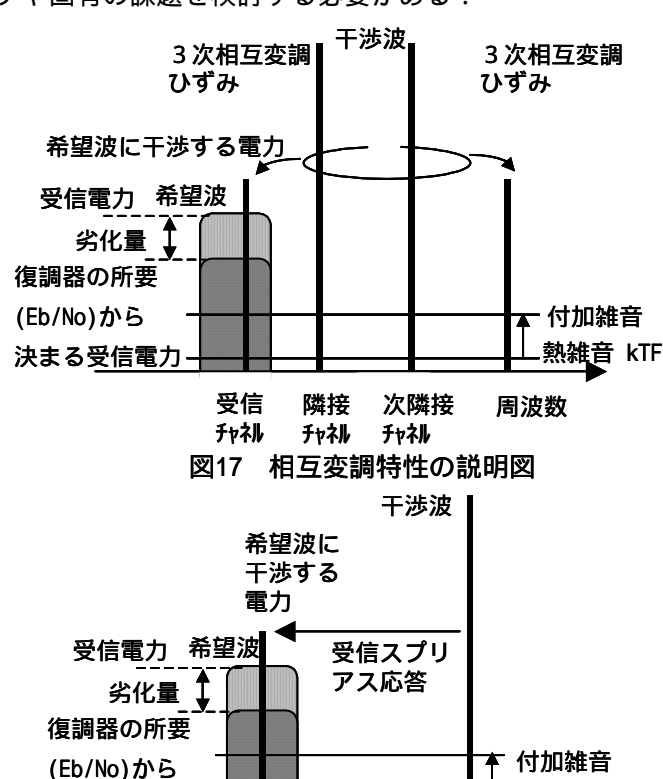


図18 ブロッキング特性の説明図

熱雑音 kTF

周波数

5. むすび

決まる受信電力

本報告では初学者向けにディジタル移動通信に用いる受信機設計の基礎についてまとめた、受信機設計の理論は時代・方式に関わらず普遍性があるが、無線アーキテクチャ、半導体、回路の進化により、具体的な設計の在り方は変化を続けている、そのため、常に基本に返った検討が必要である、本文中には引用していないが、文献[32]-[37]も受信機設計の

受信チャネル

理解の助けとなる.本文中で引用した基本的な文献 とあわせ,初学者には一読を勧める.また本稿執筆 にあたって協力頂いた三菱電機情報技術総合研究所 石津文雄氏,モバイルターミナル製作所関係者に深 謝する.

参考文献

- [1] 三木哲也, "総括 アクセスネットワークはどう変わったか, これからどう変わっていくか? , "信学誌, vol.88, no.3(2005-3).
- [2]A.Abidi, "Direct-conversion radio transceivers for digital communications," IEEE Journal of Solid-State Circuits, Vol.30, no.12, pp. 1399-1410 (1995).
- [3] K.Itoh, M.Uesugi, S.Murakami, H.Joba, "Overview of the evolution of PLL synthesizers used in mobile terminals," 2004 IEEE Radio and Wireless Conference Digest, pp. 471-474 (2004).
- [4] B.Razavi, "RF Microelectronics," Prentice Hall, 1998.
- [5] 向井学, "移動通信用復調処理の基礎," 2005 Microwave Workshops and Exhibition Digest で発表予定, (2005).
- [6] 田中聡 , "半導体集積化受信機の基礎 , " 2005 Microwave Workshops and Exhibition Digest で発表予定, (2005).
- [7]E.H.Armstrong, "The superheterodyne-Its origin, development, and some recent improvements," Proc. IRE, vol. 12, pp. 549-552(1924).
- [8]F.E.Terman, "Fundamentals of radio," McGRAW-HILL (1938).
- [9]森永隆広監修, "移動通信 理論と設計,"電子通信 学会(1972).
- [10] 奥村善久,進士昌明, "移動通信の基礎",電子情報 通信学会(1986).
- [11] D.G.Tucker, "The history of the homodyne and syuchrodyne," Journal of the British Institution of Radio Engineers, vol.14, no.4, pp. 143-154 (1954).
- [12] I.A.W.Vance, "Fully integrated radio paging receiver," IEE Proceedings, vol.129, pt.F, no.1, pp. 2-6 (1982).
- [13] H.Tsurumi, T.Maeda, "Design study on a direct conversion receiver front-end for 280 MHz, 900 MHz, and 2.6 GHz band radio communication systems," Proceedings of the 41st IEEE Vehicle Technology Conference, pp. 457-462 (1991).
- [14]M.Shimozawa, K.Kawakami, K.Itoh, A.Iida, "Sub-harmonic pumping direct conversion receiver with high dynamic range," 1996 IEEE MTT-S International Microwave Symposium Digest, pp.879-882 (1996).
- [15]J.Sevenhans, A.Vanwelsenaers, J.Wenin, and J. Baro, "An integrated Si bipolar RF transceiver for a zero IF 900 MHz GSM digital radio front-end of a hand portable phone," Proceedings of the IEEE 1991 Custom Integrated Circuits Conference, pp. 7.7/1-4 (1991). [16]K.Itoh, T.Yamaguchi, T.Katsura, K.Sadahiro, T.Ikushima, R.Hayashi, F.Ishizu, E.Taniguchi, T.Nishino, M.Shimozawa, N. Suematsu, T.Takagi, O.Ishida, "Integrated even harmonic type direct

- conversion receiver for W-CDMA mobile terminals," 2002 IEEE MTT-S International Microwave Symposium Digest, pp. 9-12 (2002).
- [17] 室谷正芳,山本平一,"ディジタル無線通信",産業図書(1985).
- [18] 宮内一洋, "通信方式入門,"コロナ社(1991).
- [19] 斎藤洋一, "ディジタル無線通信の変復調",電子情報通信学会(1996).
- [20]藤野忠, "ディジタル移動体通信",昭晃堂(2000).
- [21] J.G.Proakis, "Digital communications," 3rd edi., McGraw-Hill (1995).
- [22] 三瓶政一, "ディジタルワイヤレス伝送技術", ピアソン・エデュケーション(2002).
- [23] 野本真一, "ワイヤレス基礎理論,"電子情報通信学会(2003)
- [24] 伊東健治, "低雑音シンセサイザの基礎, "2003 Microwave Workshops and Exhibition Digest, pp.489-498, (2003-11). (http://www.apmc-mwe.org/ mwe2004/ ja_mwe2003_TL/でダウンロード可能である)
- [25] 上野伴希, "無線機 RF 回路 実用設計ガイド,"総合電子出版(2004)
- [26] 加藤修三, "TDMA 通信,"電子情報通信学会(1989).
- [27] 村上圭司他, "衛星通信用波形整形フィルタ LSI,"電子通信学会春季全国大会,SB3-6(1988).
- [28] 鷹見忠雄,斉藤茂樹,冨里繁,山尾泰, "QPSK 移動無線通信における近似ナイキスト伝送の検討,"信学論(B),vol.J74-B-,no.7,pp. 405-412(1991).
- [29] Y.Sun, "Wireless communication circuits and systems," IEE (2004).
- [30] M.Goldfarb, W.Palmer, T.Murphy, R.Clarke, B.Gilbert, K.Itoh, T.Katsura, R.Hayashi, H.Nagano, "Analog baseband IC for use in direct conversion W-CDMA receiver," 2000 IEEE Radio Frequency Integrated Circuits Symposium Digest, pp.79-82 (2000).
- [31] 例えば 3GPP TS34.121, 3rd generation partnership project; technical specification group terminal; terminal conformance specification; radio transmission and reception (FDD), Release 1999.
- [32] J.B.Groe, L.E.Larson, "CDMA Mobile Radio Design," Artech House (2000).
- [33] 宮内一洋,山本平一,"通信用マイクロ波回路,"電子通信学会(1981).
- [34] Aarno Parssinen, "Direct conversion receivers in wide-band systems," Kluwer Academic Publishers (2001).
- [35] J.Lasker, B.Matinpouer, S.Chakraborty, "Modern Receiver front-ends," John Wiley and Sons (2004).
- [36] U.L.Rohde, T.T.N.Bucher, "Communications receivers, principles & design," Mc-Graw hill (1988). [37] W.E.Egan, "Practical RF System design, "John Wiley and Sons (2003).